

Figure S1, Tang *et al.*

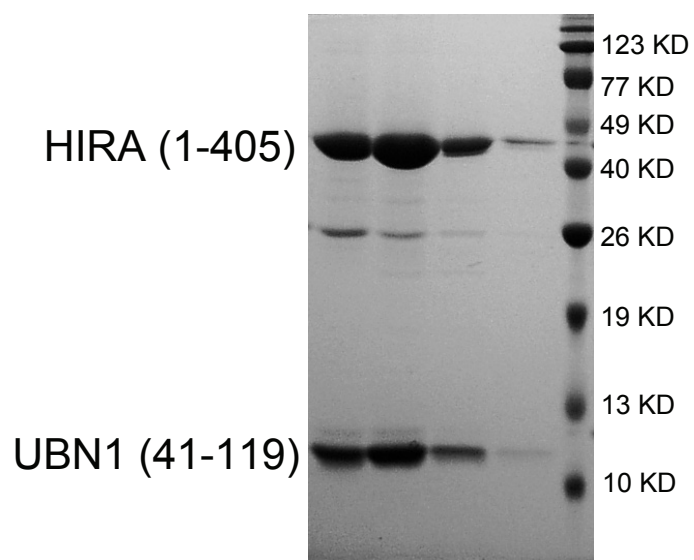


Figure S2, Tang *et al.*

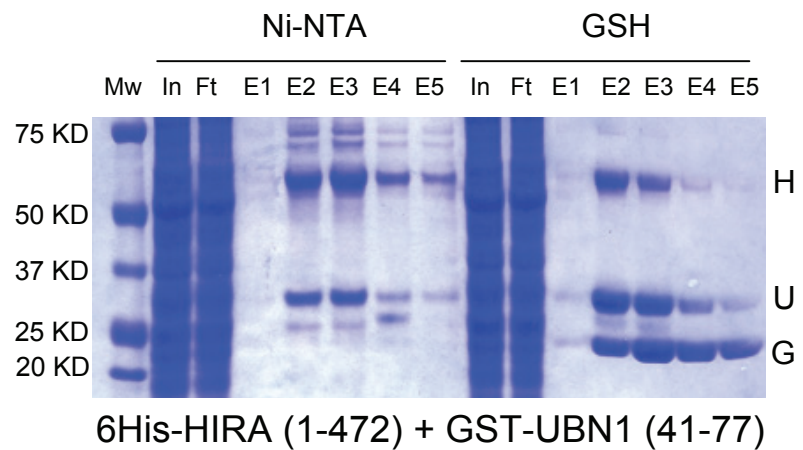
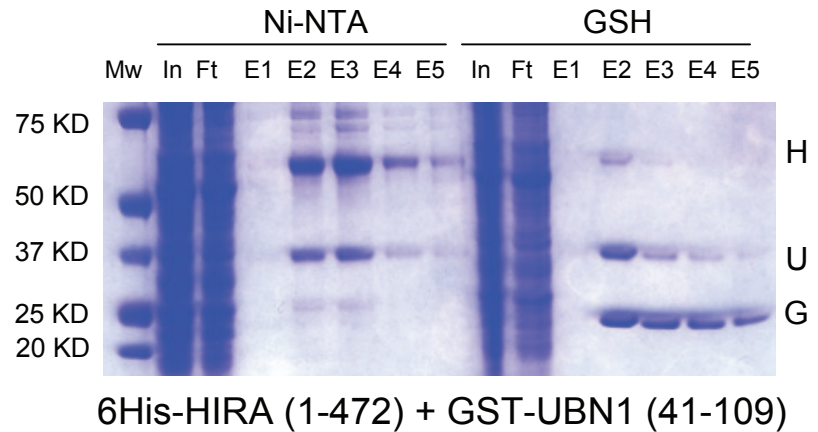
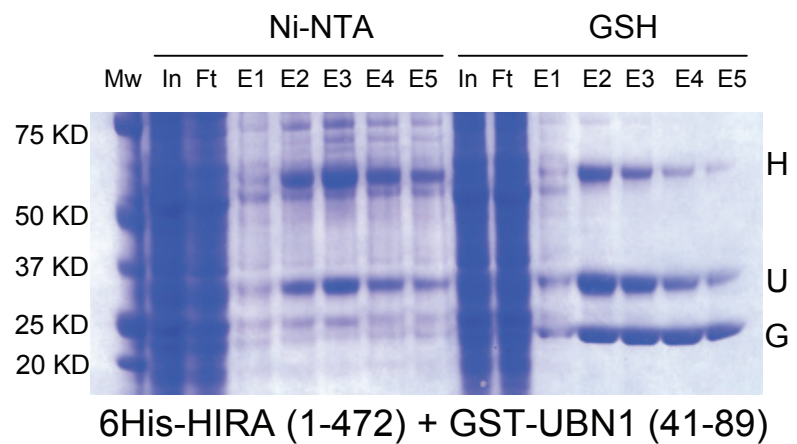
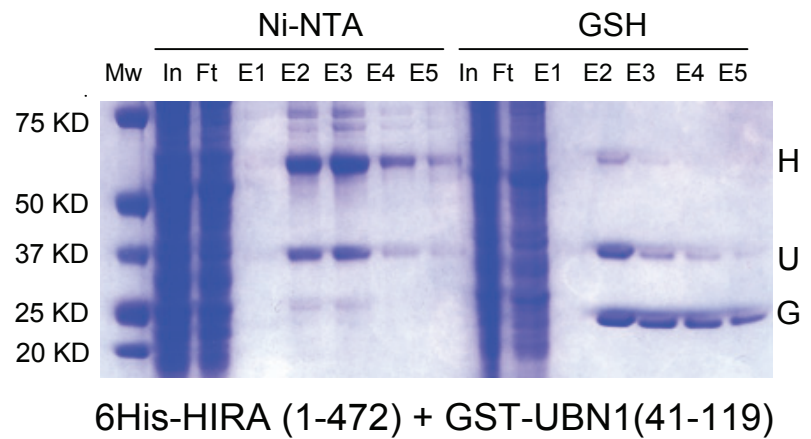
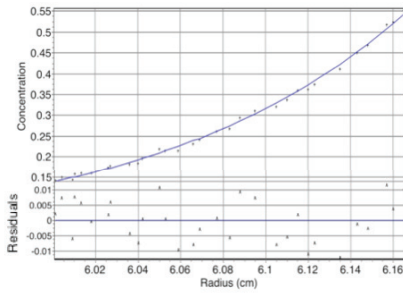


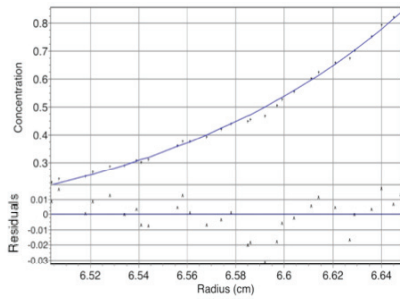
Figure S3, Tang *et al.*

A

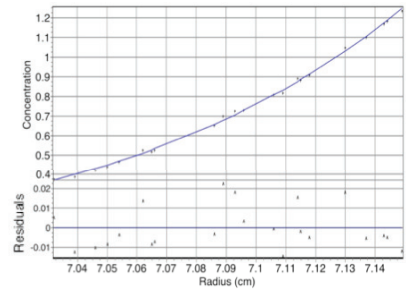
14K, 0.6 OD



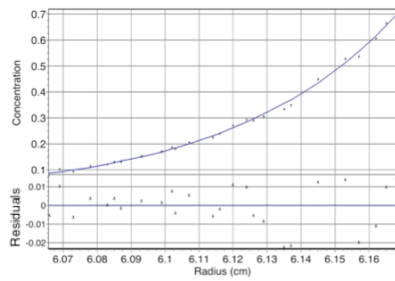
14K, 0.4 OD



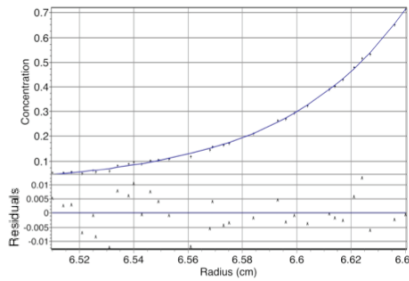
14K, 0.2 OD



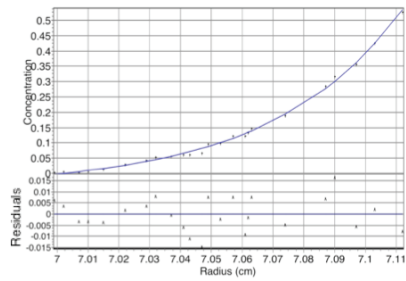
22K, 0.6 OD



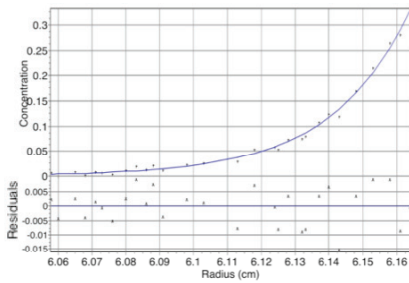
22K, 0.4 OD



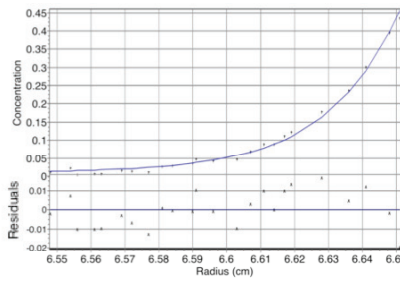
22K, 0.2 OD



32K, 0.6 OD



32K, 0.4 OD



32K, 0.2 OD

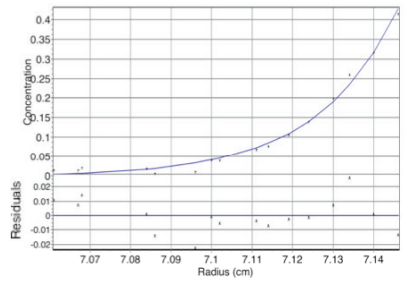
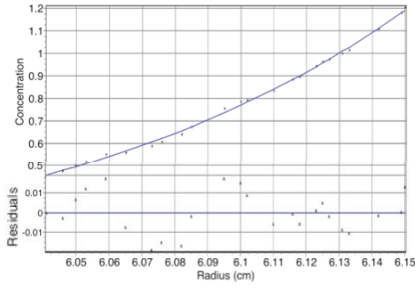


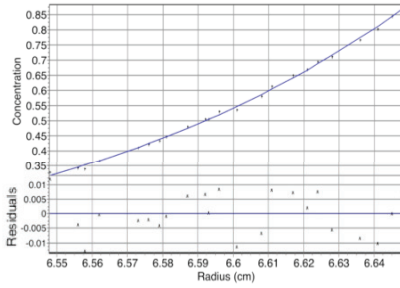
Figure S3 (continued), Tang *et al.*

B

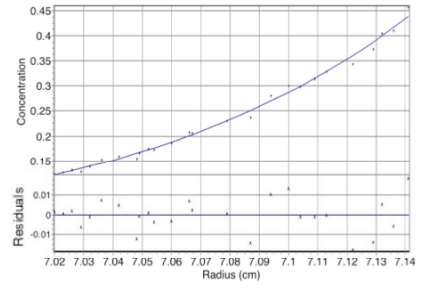
14K, 0.6 OD



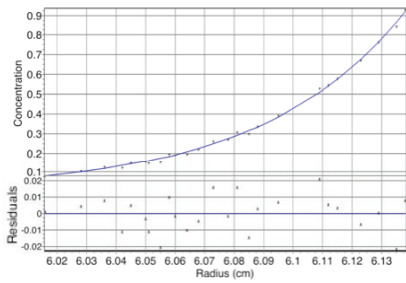
14K, 0.4 OD



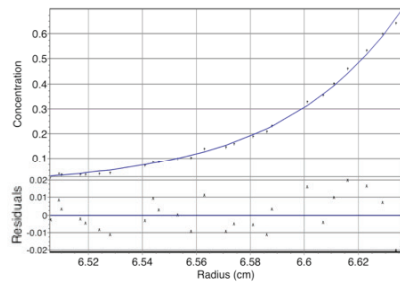
14K, 0.2 OD



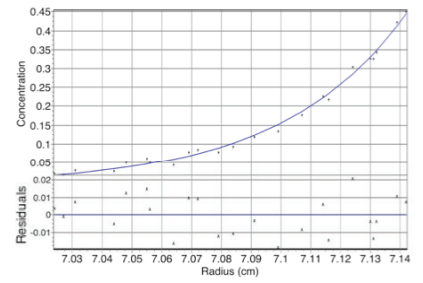
22K, 0.6 OD



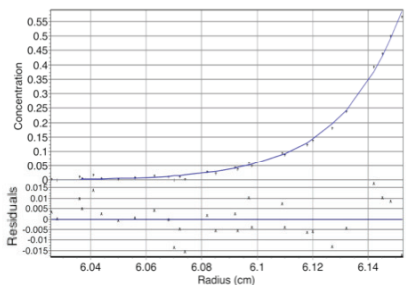
22K, 0.4 OD



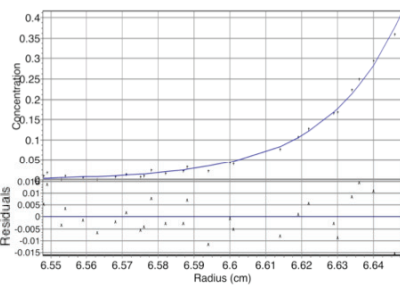
22K, 0.2 OD



32K, 0.6 OD



32K, 0.4 OD



32K, 0.2 OD

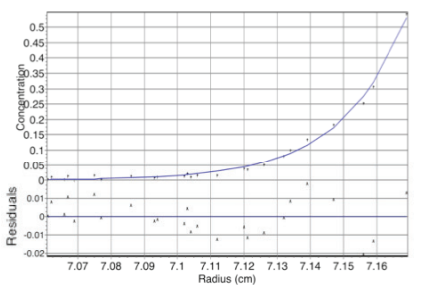


Figure S4, Tang *et al.*

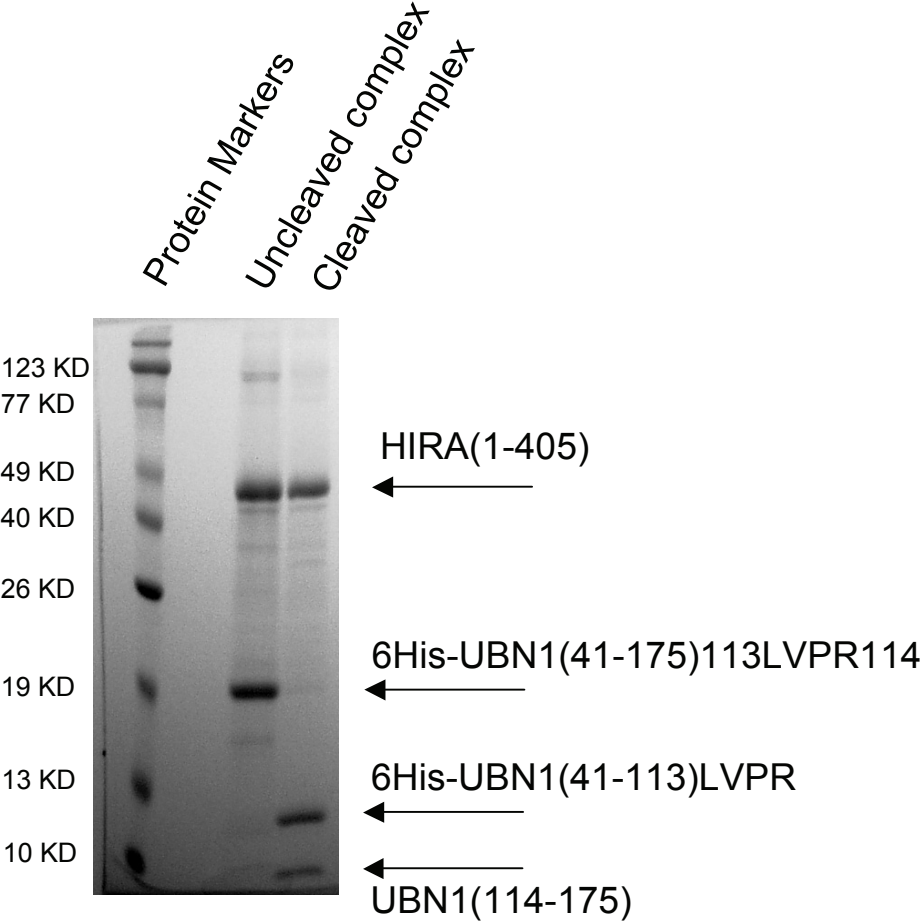


Figure S5, Tang et al.

